



Минпромэнерго  
России



Роспром



Российский Союз  
поставщиков  
металлопродукции



ГНЦ РФ  
ВНИИМЕТМАШ



ГНЦ РФ  
ЦНИИЧЕРМЕТ



ГНЦ РФ  
Гинцветмет



ОАО «Институт  
Цветметобработка»



Московский институт  
стали и сплавов



АО  
Черметинформация



Институт сервисных  
металлоцентров



Международный  
союз  
Металлургмаш

## НЕДЕЛЯ МЕТАЛЛОВ В МОСКВЕ

13 – 17 ноября 2006 г.

Сборник трудов конференций и семинаров

Москва  
2007

**УДК 621.226;669.019**

## **УСТАНОВЛЕНИЕ ПРИЧИН РАЗРУШЕНИЯ И ВОССТАНОВЛЕНИЕ СВАРКОЙ ДОННОЙ ЧАСТИ ГЛАВНЫХ ЦИЛИНДРОВ МОЩНЫХ ГИДРАВЛИЧЕСКИХ ПРЕССОВ**

**С.А.Королев, А.П.Моисеев, С.В.Прудников,  
И.А.Сурков**

ОАО ВМЗ, ООО «Надежность», ЗАО «Фирма ТАС»

Мощные гидравлические прессы используются на заготовительных производствах в различных отраслях промышленности, в частности при производстве железнодорожных колес. Практика эксплуатации показывает, что во многих случаях простои высокопроизводительных технологических линий связаны с разрушением главных цилиндров прессов, вызванным возникновением и развитием трещин усталости в галтели днища цилиндра. В качестве примера на рис. 1 представлена схема произошедшего в 1994 г. разрушения цилиндра пресса усилием 50 МН. Аналогичные трещины были обнаружены в цилиндрах прессов усилием 35 МН в 2003 и 2004 гг.

Цилиндры мощных гидравлических прессов, разрушенные трещинами в галтелях днищ, имеют одинаковые конструкции, технологии изготовления и условия эксплуатации. Это позволяет считать причины разрушений общими для указанных цилиндров, что делает необходимым проведение соответствующих исследований для установления причин разрушения.

Напряженное состояние цилиндров исследовано расчетным методом конечных элементов (МКЭ) в осесимметричной постановке. На рис. 2 показана эпюра максимальных растягивающих напряжений на внутренней поверхности цилиндра пресса усилием 50 МН. Такой же характер и величину максимумов имеет эпюра напряжений цилиндра пресса усилием 35 МН.

При сопоставлении схем расположения трещин в галтели днища (см. рис. 1) с напряженным состоянием внутренней поверхности цилиндра (см. рис. 2) видно, что трещины в галтелях днищ начинаются в зонах расположения максимумов растягивающих напряжений, что соответствует механизму возникновения трещин усталости. В то же время величины максимальных напряжений значительно меньше предела выносливости кованой стали Ст35, из которой изготовлены разрушенные цилиндры. По данным работы [1], предел выносливости стали Ст35 при пульсирующем цикле равен 250 МПа, что примерно в два раза превышает уровень действующих напряжений в зоне возникновения трещин. Для выяснения причин столь значительного сниже-

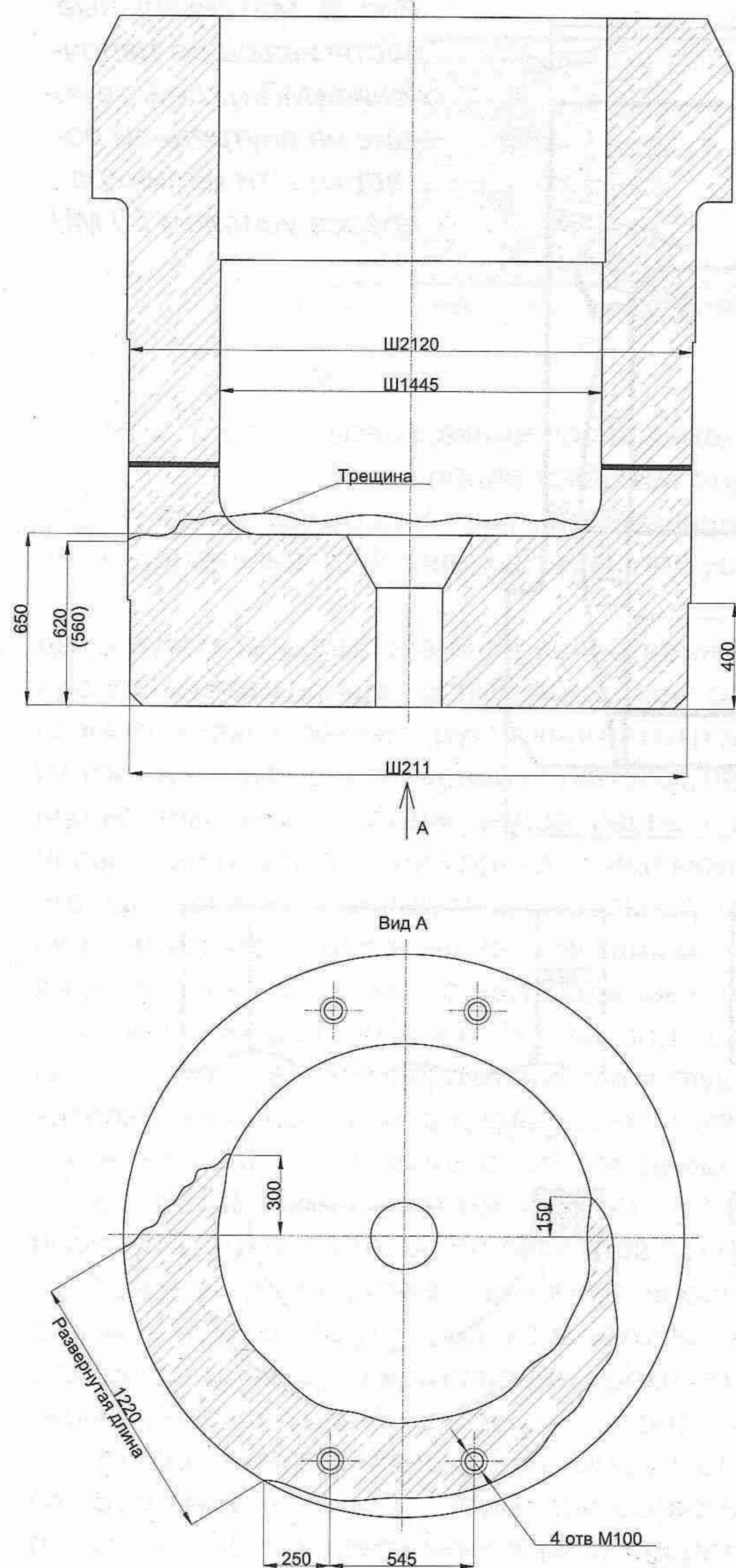


Рис. 1. Схема расположения трещины в днище главного цилиндра пресса усилием 50 МН

Поэтому можно предположить, что значительное снижение предела выносливости материала днища вызвано неблагоприятным расположением направления действующих напряжений по отношению к структурным линиям материала при ковке днища.

Для проверки этого предположения направление действия максимальных напряжений относительно расположения структурных линий было най-

ния прочности зоны днища рассмотрим пределы выносливости материала, полученные на образцах, вырезанных из реальных цилиндров прессов для производства железнодорожных колес.

Цилиндры мощных гидравлических прессов имеют сварно-кованое исполнение. Заготовка днища после осадки и токарной обработки приваривается к откованной обечайке, и затем производится их совместная механическая обработка. Для получения усталостных характеристик материала реальных цилиндров использованы образцы, вырезанные из разрушенных цилиндров прессов производства железнодорожных колес [2]. На рис. 3, а и б показана схема вырезки темплетов из днища и обечайки для изготовления образцов, а на рис. 3, в — результаты усталостных испытаний.

Из рис. 3, в видно, что предел выносливости материала днища на базе  $2 \cdot 10^6$  циклов составляет 165 МПа, а материала обечайки — 275 МПа. Максимальные рабочие напряжения в обечайке действуют в окружном направлении, т.е. направление максимальных напряжений совпадает с направлением структурных линий материала при ковке обечайки на оправке, что дает максимальную прочность материала.

Рис. 2. Максимальные растягивающие напряжения (МПа), действующие на внутренней поверхности цилиндра пресса усилием 50 МН

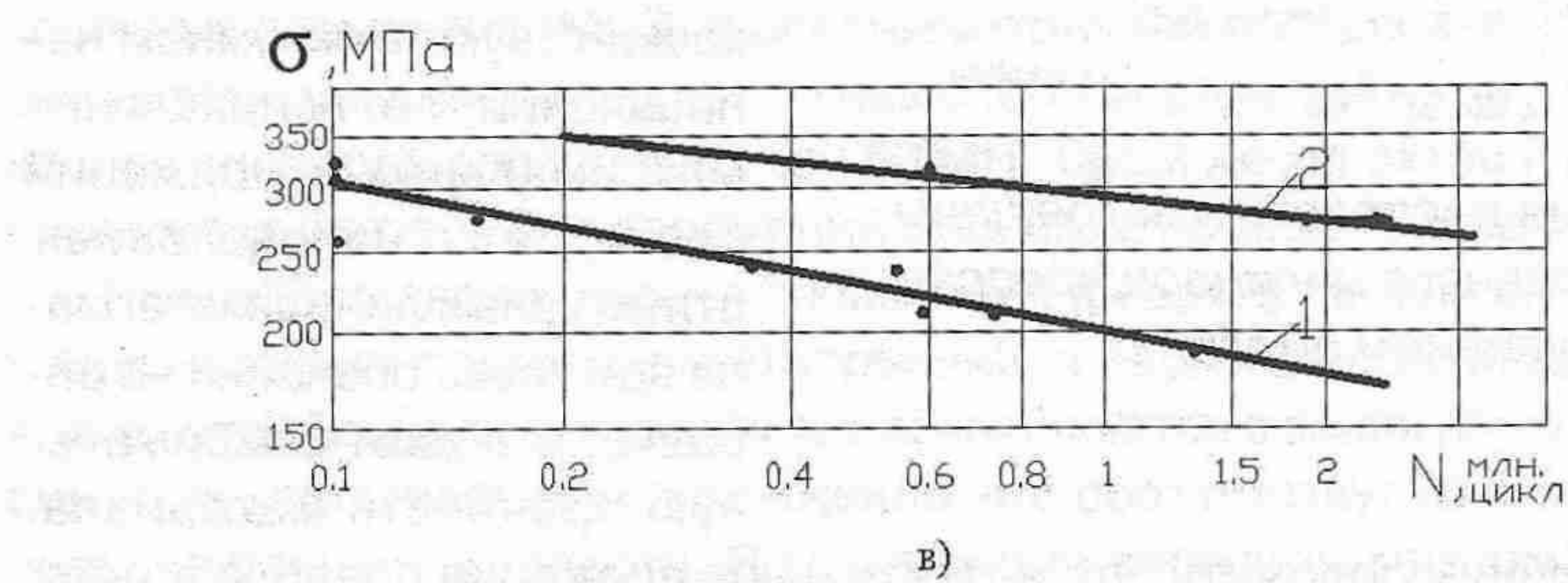
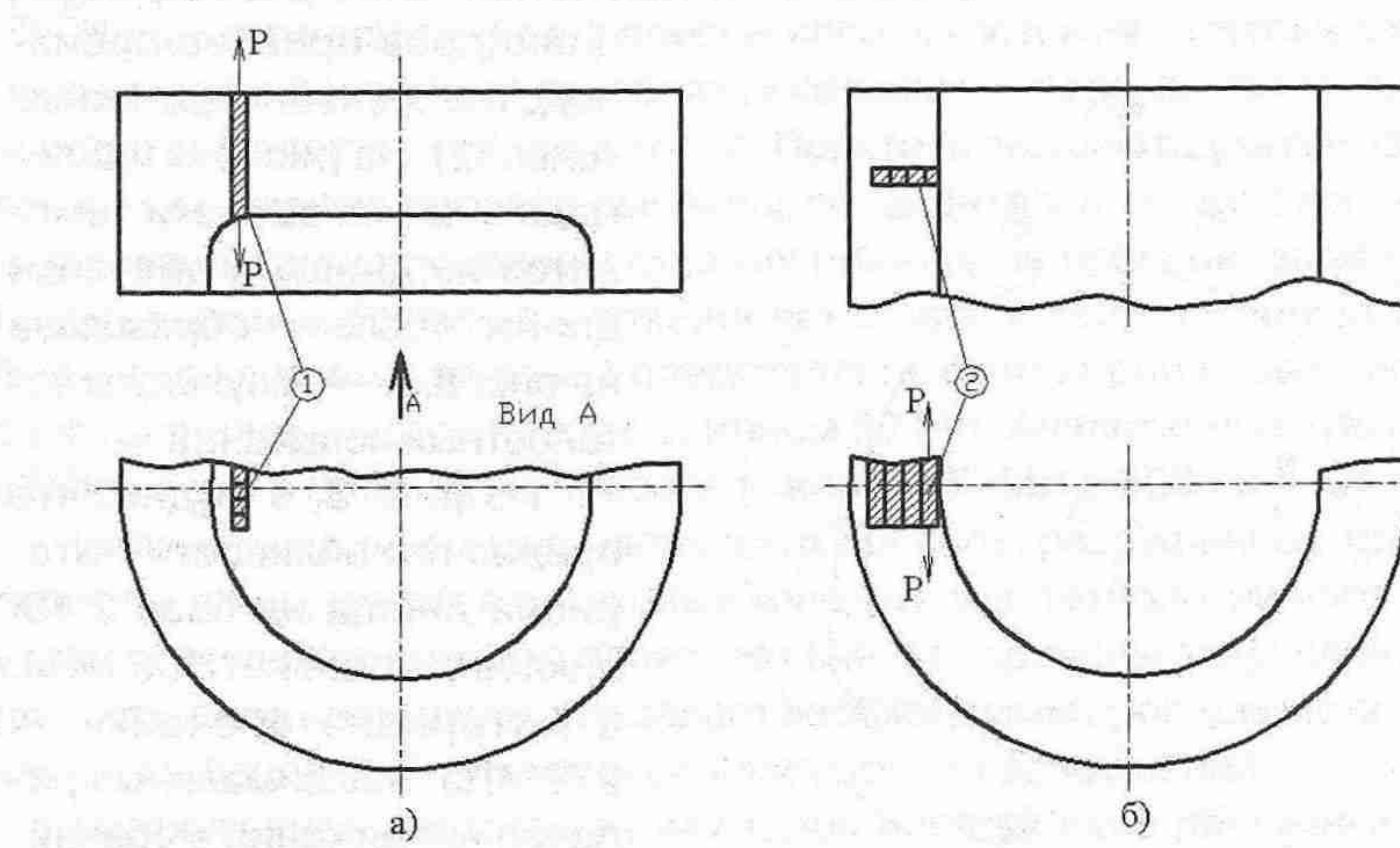
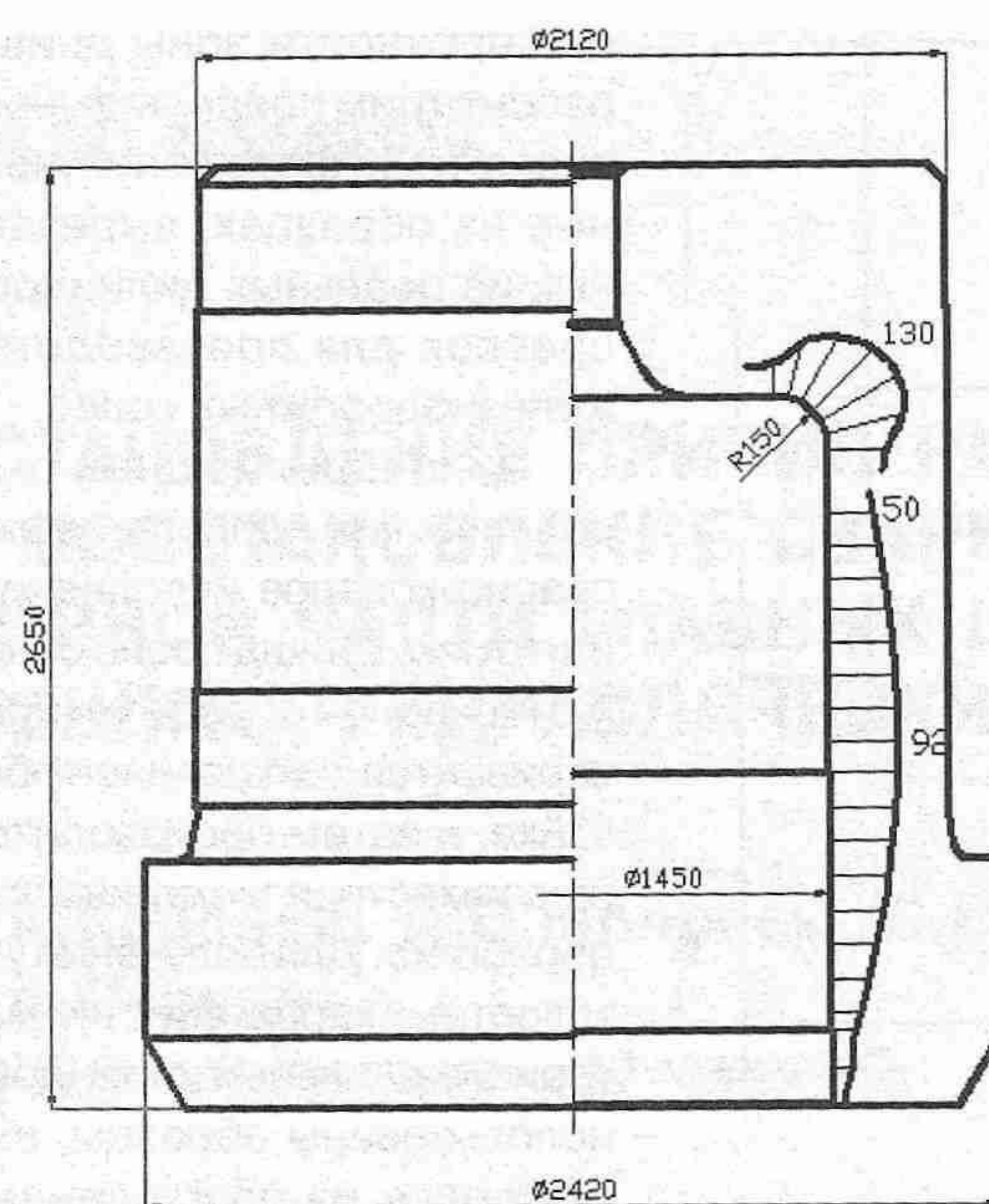


Рис. 3. Схема вырезки темплетов для изготовления образцов и результаты усталостных испытаний:  
а – днище; б – обечайка; в – результаты усталостных испытаний;  
1, 2 – темплеты из днища и обечайки;  $N$  – направления действия нагрузки при усталостных испытаниях

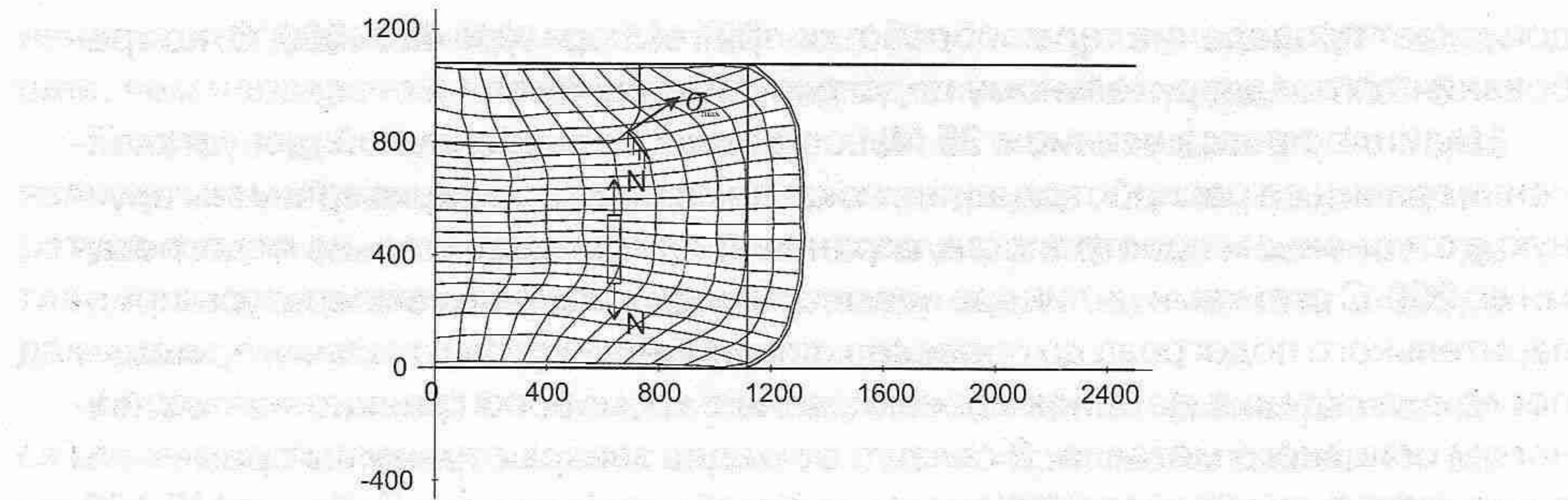


Рис. 4. Структурные линии после осадки слитка и геометрия днища после токарной обработки:

$\sigma_{max}$  — направление действия максимальных напряжений в галтели днища;  
N — направление действия нагрузки при усталостных испытаниях образцов

дено путем моделирования в качественной постановке технологического процесса ковки днища с использованием программы SPLEN-S. На рис. 4 даны геометрия заготовки и структурная сетка после осадки. Там же показаны геометрия днища после токарной обработки, направление действия максимальных напряжений в галтели днища, расположение образцов для усталостных испытаний и направление прикладываемой к ним нагрузки. Из рис. 4 видно, что направление действия максимальной нагрузки при усталостных испытаниях образцов и направление действия максимального напряжения в галтели днища не совпадают с направлением распространения максимальных пластических деформаций. Неблагоприятное расположение структурных линий относительно направления действующих напряжений вызывает значительное уменьшение предела выносливости материала и является причиной возникновения трещин в галтели днища цилиндра.

Вопросам изменения технологии изготовления днища для увеличения прочности зоны галтельного перехода будет посвящена специальная работа. Здесь мы рассмотрим технологию восстановления разрушенного днища с применением сварки. Сварка в цеховых условиях дает возможность восстановить цилиндр в кратчайшие сроки, что предупреждает значительный экономический ущерб, связанный с простоем технологической линии.

Традиционные подходы к сварке крупногабаритных деталей из стали типа Ст 35 (литых и кованых) требуют предварительного подогрева детали до температуры 250 °С и удержания этой температуры до окончания сварки. После окончания сварки необходимо провести термообработку всей детали при температуре 850–870 °С с замедленным охлаждением. Применение аустенитных сварочных материалов (нержавеющие электроды на основе железа)

#### Механические характеристики основного металла и сварного шва, выполненного различными электродами

Наименование	Ст. 35	Сабарос Me 122	ОЗЛ-6	УОНИ 13/45
Предел текучести, Н/мм <sup>2</sup>	300	380	340	370
Предел прочности, Н/мм <sup>2</sup>	550	650	590	470
Относительное удлинение, %	22	42	25	22

допускает проведение термообработки при температуре 450–500 °С, но требования по предварительному подогреву сохраняются.

Цилиндр пресса усилием 35 МН с трещиной, разделанной для установления границ ее распространения, показан на рис. 5. Заварка трещины вручную в стесненном пространстве, ограниченном предварительно подогретыми до 250 °С стенками цилиндра невыполнима. Снижение температуры предварительного подогрева до пределов, допускающих ручную сварку, приводит после охлаждения детали к возникновению трещин по границе наплавленного и основного металла. В связи с этим для заварки трещины применены аустенитные сварочные материалы на основе никеля типа Сабарос МЕ 122, которые позволяют выполнять сварочные работы на крупногабаритных деталях из стали типа Ст 35 без предварительного подогрева и последующей термообработки. В таблице приведены механические характеристики основного металла и сварного шва, выполненного различными электродами.

Из таблицы видно, что сварное соединение, выполненное электродом типа Сабарос МЕ 122, имеет более высокие механические характеристики по сравнению с традиционными сварочными материалами и основным металлом. В сочетании с высокой пластичностью это обеспечивает работоспособность сварного соединения при циклических нагрузках.

Коэффициент термического расширения сварного шва, выполненного электродом Сабарос МЕ 122 (аустенит на базе никеля), в диапазоне температур 0–650 °С составляет  $14,8 \cdot 10^{-6}$ . Тот же параметр для сварного шва на базе ОЗЛ-6 составляет  $19,1 \cdot 10^{-6}$ . Это означает, что в сварном шве, выпол-

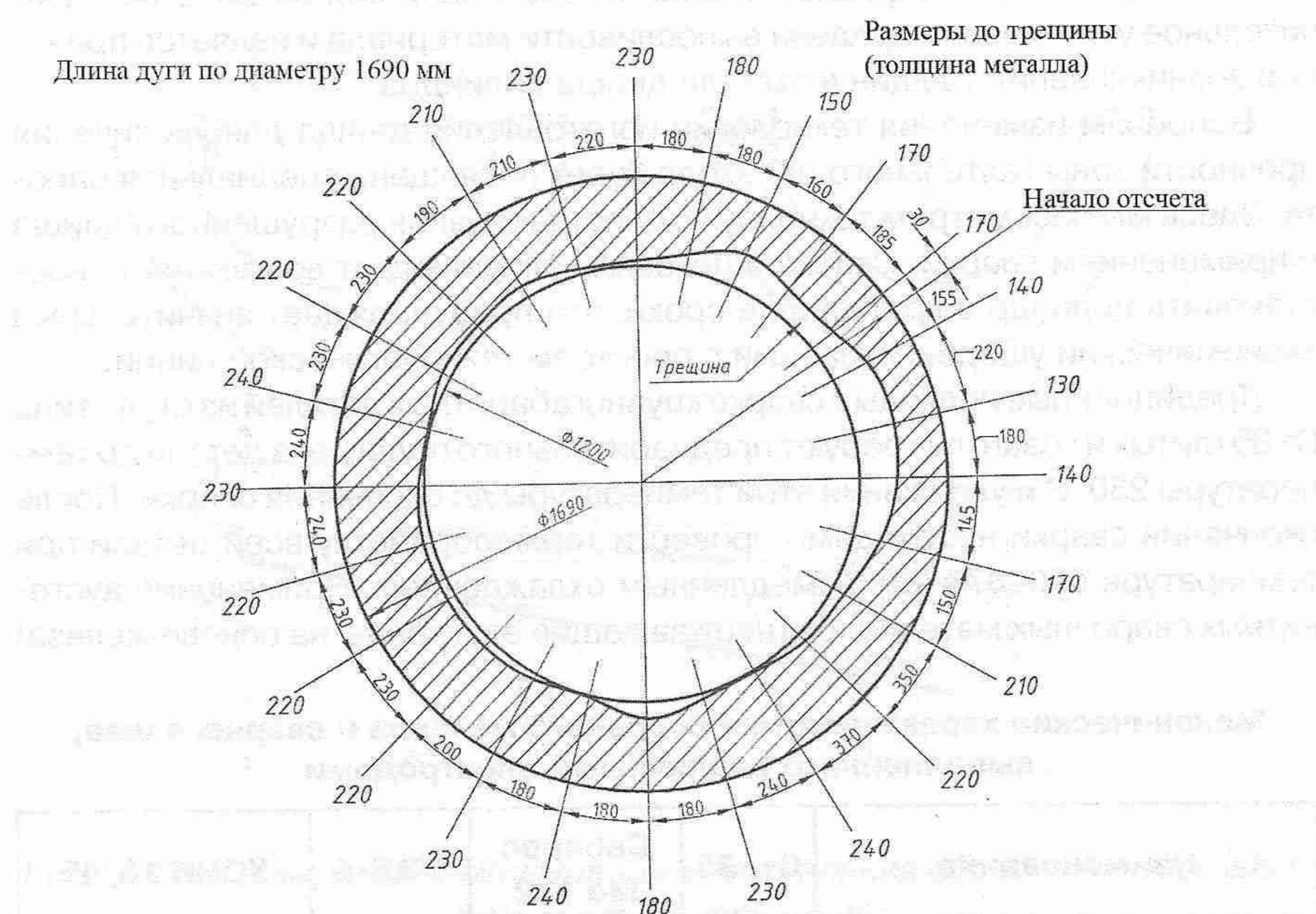


Рис. 5. Размеры трещины в галтели днища цилиндра пресса силой 35 МН по данным ультразвукового контроля. Схема расположения трещины аналогична схеме на рис. 1

ненном электродами Сабарос МЕ 122, создаются напряжения на 30% меньшие, чем напряжения в сварном шве, выполненнном электродами ОЗЛ-6.

Температура плавления металла, наносимого с помощью УОНИ 13/45, является самой высокой среди указанных электродов. Самая низкая температура плавления у электродов на базе никеля. Деформации основной детали пропорциональны температуре, поэтому сварка никелевыми электродами дает минимальные сварочные напряжения.

Дополнительным способом компенсации напряжений при сварке является наклеп наплавленного слоя с целью создания «противонапряжений». Материал сварного шва, выполненный электродами УОНИ 13/45 или ОЗЛ-6, не обладает способностью к наклепу. Степень наклепа оценивается увеличением твердости материала после наклепа. Для материала сварного шва, выполненного электродами Сабарос МЕ 122, получены следующие результаты:

Твердость после сварки (HV)	160
Твердость после наклепа (HV)	405
Увеличение твердости после наклепа, %	155

Таким образом, наклеп сварного шва, выполненного никелевыми электродами, существенно уменьшает возможность образования трещин от сварки и механических нагрузок.

Крупногабаритные детали мощных гидравлических прессов, выполненные из литой или кованой стали Ст. 35, имеют металлургические дефекты, такие как включения песка, зоны повышенного содержания углерода, серы и фосфора. В основном металле при сварке электродами типа ОЗЛ-6 на основе железа формируются точечные твердые и хрупкие структуры, повышается содержание растворенного водорода и создаются условия для образования горячих и холодных трещин. Сварное соединение, выполненное austenитными электродами типа Сабарос МЕ 122 на основе никеля, имеющими базовую обмазку, менее чувствительно к металлургическим дефектам и содержит меньшее количество растворенного водорода, что существенно уменьшает возможность образования холодных и горячих трещин.

На первом этапе разделки трещины допускается вырезка центральной части разделки с помощью газового оборудования. На втором этапе зачистка стенок разделки должна проводиться разделочными электродами Сабарос МЕ 100. Эти электроды, благодаря экзотермической обмазке, обеспечивают разделку свариваемой детали без ее перегрева, а оксидирующие элементы предотвращают налипание брызг металла на деталь. Как при хорошем доступе, так и в узких местах данный метод обеспечивает более быструю разделку по сравнению со шлифовальной машиной или зубилом и может быть использован с любым источником сварочного тока без кислорода или сжатого воздуха. После него остается металлургически чистая поверхность.

На первом этапе сварки производится 100%-ная плакировка стенок разделки. Это наиболее трудоемкая и ответственная часть ремонта. Плакировка производится в один слой с помощью электрода типа Сабарос МЕ 122. Каждый участок сварного шва подвергается интенсивной проковке.

После полной плакировки разделки (или секции разделки) начинается ее заполнение. Эта операция производится с помощью электрода типа Са-

барос МЕ 222. Данный электрод, в отличие от Сабарос МЕ 122, имеет полу-синтетическую обмазку, что существенно увеличивает производительность наплавки. Это особенно важно при сварке толстостенных конструкций с объемами наплавленного металла до 500 кг. При заполнении разделки необходимо интенсивно проковывать сварные швы.

Представленная выше технология была применена для ремонта цилиндра пресса усилием 35 МН с трещиной усталости в галтели днища (см. рис. 5). Сварка проводилась непрерывно в течение 7 сут. После полной заварки поверхность наплавленного металла и околосварной зоны проверена методом цветной дефектоскопии, трещин не обнаружено. Цилиндр запущен в эксплуатацию.

Восстановление цилиндра пресса усилием 35 МН и его установка на пресс были осуществлены во время планового капитального ремонта в апреле 2004 г., что не потребовало сокращения времени, отведенного на получение заготовок железнодорожных колес. Цилиндр отработал запланированный год до капитального ремонта в апреле 2005 г., что позволило обеспечить рекордную в мировой практике производительность колесопрокатной линии, составившей 750000 железнодорожных колес в год.

#### БИБЛИОГРАФИЧЕСКИЙ СПИСОК

1. Гохберг М.М., Пылайкин П.А., Юшкевич В.Н. Усталостная прочность сталей для прессов. – В кн.: Производство крупных машин. Вып. XXI. Гидравлические прессы. – М.: Машиностроение, 1971. С. 10–34.
2. Мельников В.И., Монахов-Ильин Г.П., Пылайкин П.А., Сурков А.И. Характеристики сопротивления усталости и хрупкому разрушению сталей для изготовления базовых деталей мощных прессов. – Труды ВНИИМЕТМАШ, 1988. С. 76–84.